



مدیریت آب و آبادان

دوره ۱۱ ■ شماره ۴ ■ زمستان ۱۴۰۰

صفحه‌های ۷۹۷-۸۱۴

DOI: 10.22059/jwim.2022.330638.925

مقاله پژوهشی:

ارزیابی ظرفیت برد منابع آب در شرایط تغییر اقلیم با استفاده از رویکرد شبیه‌سازی- بهینه‌سازی (مطالعه موردی: حوضه آبریز طشك- بختگان)

Hamid Abbasi¹, Majid Delavar^{2*}, Hamid Mohammadi Sedaran³

۱. دانشآموخته کارشناسی ارشد، گروه مهندسی و مدیریت منابع آب، دانشگاه تربیت مدرس، تهران، ایران.

۲. دانشیار، گروه مهندسی و مدیریت منابع آب، دانشگاه تربیت مدرس، تهران، ایران.

۳. دانشجوی کارشناسی ارشد، گروه مهندسی و مدیریت منابع آب، دانشگاه تربیت مدرس، تهران، ایران.

تاریخ دریافت مقاله: ۱۴۰۰/۰۶/۲۵

تاریخ پذیرش مقاله: ۱۴۰۰/۱۰/۱۶

چکیده

امروزه منابع آب به عنوان یکی از بحث‌اندیش‌ترین منابع طبیعی و مسئله آب به عنوان یکی از جدی‌ترین چالش‌های جامعه بشری قرن ۲۱ تبدیل شده است. مفهوم ظرفیت برد منابع آب جهت پاسخگویی به این نگرانی‌ها و استفاده بهینه از منابع آب ایجاد شده است. در مطالعه حاضر تلاش شده با استفاده از رویکرد شبیه‌سازی- بهینه‌سازی، ظرفیت برد منابع آب در یک حوضه پایلوت با در نظر گیری مؤلفه‌های اقتصادی، زیست محیطی و منابع آبی در دوره تاریخی (۱۹۸۵-۲۰۱۴) و در شرایط تغییر اقلیم (۲۰۱۵-۲۰۴۵) موردنرسی قرار گیرد. در این راستا از ابزار ارزیابی آب و خاک (SWAT) و الگوریتم ژنتیک استفاده شده است. به منظور ارزیابی تغییر اقلیم در این مطالعه از خروجی‌های سه مدل گردش عمومی جوتحت سناریوهای RCP 2.6, 4.5, 8.5 استفاده شده است. نتایج مطالعه بیان‌گر این است که توانایی پشتیبانی منابع آب به واسطه نوسانات اقلیمی و تغییر اقلیم (در تمام سناریوها) در دوره موردنرسی (۱۹۸۵-۲۰۴۵) روند نزولی داشته است. از طرف دیگر بارگذاری بر منابع آبی به واسطه افزایش سطح زیر کشت افزایش یافته است. کاهش توانایی پشتیبانی منابع آب در کنار افزایش بارگذاری بر منابع آب سبب واردشدن آسیب‌های جدی به منابع آب و محیط‌زیست حوضه شده است از این میان می‌توان به خشکشدن کامل دریاچه‌های حوضه اشاره کرد. در راستای مصرف مناسب با ظرفیت برد تحت بدینانه‌ترین و خوش‌بینانه‌ترین سناریو در شرایط تغییر اقلیم با شرایط مدیریت فعلی حوضه، نیاز به کاهش درآمد ناخالص بخش کشاورزی به ترتیب با مقادیر ۴۴/۴۴ و ۳۰ درصد می‌باشد.

کلیدواژه‌ها: الگوریتم ژنتیک، حوضه آبریز طشك- بختگان، ظرفیت برد منابع آب، مدل SWAT

Basin's Water Resource Carrying Capacity Assessment in Climate Change Conditions Using Simulation-Optimization Approach; Case Study: Tashk-Bakhtegan basin

Hamid Abbasi¹, Majid Delavar^{2*}, Hamid Mohammadi Sedaran³

1. M.Sc. Graduate, Department of Water Resources Engineering and Management, Tarbiat Modares University, Tehran, Iran.

2. Associate Professor, Department of Water Resources Engineering and Management, Tarbiat Modares University, Tehran, Iran.

3. M.Sc. Student, Department of Water Resources Engineering and Management, Tarbiat Modares University, Tehran, Iran

Received: September, 16, 2021 Accepted: January, 06, 2022

Abstract

Water resources are one of the essential natural resources of human life and are one of the most important factors limiting the natural environment, the survival of human societies, and development. On the other hand, phenomena such as climate fluctuations, climate change, population growth, mismanagement, etc. have led to a sharp increase in water resource constraints. In this regard, a proper estimation of this resource is required in the context of sustainable development planning and management strategies. The new approaches in this area are to determine the water resources carrying capacity (WRCC). WRCC is a major component of resource and environmental studies and it is a management concept aimed at supporting sustainable socioeconomic development on a regional scale and catchment areas. Failure to pay attention to concepts such as the carrying capacity in the country's planning has led to the ineffectiveness of most programs. For this purpose, in the present study, it has been tried to use the simulation-optimization approach to determine the water resources carrying capacity in a pilot basin (Tashk-Bakhtegan Basin), considering the economic, environmental and Water resources in the historical periods (1985-2014) and terms of climate change (2045-2015) should be considered. In this regard, the Water and Soil Assessment Tool (SWAT) and the Genetic Algorithm are used. For this purpose, the outputs of three general circulation atmosphere models under RCP 2.6, 4.5, 8.5 scenarios have been used to assess climate change in this study. The results of the study indicate overloading of water resources due to increased crop area in all studied periods. Also, the water resources carrying capacity due to climate fluctuations and climate change in the examined period (1985 - 2045) has been declining, and from 2.6 billion cubic meters in the period (1985-2006) to 1.9 billion cubic meters. The most pessimistic climatic conditions are reduced.

Keywords: Genetic algorithm, SWAT model, Tashk-Bakhtegan basin, Water resources carrying capacity.

مقدمه

و در برگیرنده (Mohammadi Sedaran *et al.*, 2021) عوامل زیادی مانند جمعیت، اقتصاد، منابع، محیط‌زیست و غیره است (Feng & Huang, 2008). ظرفیت برد منابع آب بهدلیل تغییر اقلیم، توسعه اقتصادی و پیشرفت فناوری به طور پویا در حال تغییر است (Yang & Yang, 2021). دما نقش مهمی در چرخه آب ایفا می‌کند (Nogueira, 2019)، که بر توزیع مکانی و زمانی منابع آب تأثیر می‌گذارد (Tukimat & Harun, 2019)، و در نتیجه ظرفیت برد منابع آب تغییر می‌کند (Yang & Yang, 2021). از طرف دیگر، توسعه اقتصادی و پیشرفت فناوری نیز با افزایش مصرف آب و تخلیه فاضلاب بر تعادل آب بر ظرفیت برد منابع آب تأثیر می‌گذارد (Wang *et al.*, 2017). بنابراین مطالعه رفتار پویای ظرفیت برد منابع آب در شرایط متغیر اقلیم، توسعه اقتصادی و تکنولوژیکی اهمیت ویژه‌ای دارد (Yang & Yang, 2021). مفهوم ظرفیت برد به طور ویژه مورد توجه پژوهش‌گران قرار گرفته و پژوهش‌گران از روش‌ها و ابزارهای مختلفی جهت ارزیابی آن استفاده کرده‌اند، به عنوان مثال روش تجزیه و تحلیل مؤلفه اصلی (Wu *et al.*, 2021)، روش تحلیل سلسله مراتبی (Chi *et al.*, 2021)، روش تجزیه و تحلیل سلسله مراتبی (Hou & Tang, 2014) و (2019)، ارزیابی جامع فازی (Yu *et al.*, 2020) (DPSIRM). اگرچه مطالعات زیادی در مورد ظرفیت برد منابع آب انجام شده است، اما هنوز تعریف (Luo *et al.*, 2017) و یا حتی درک (Kang *et al.*, 2019) مشترکی از این مفهوم وجود ندارد. این مطالعات نشان می‌دهند که ظرفیت برد منابع آب با عوامل اجتماعی، اقتصادی، اکولوژیکی و فنی ارتباط تنگاتنگی دارد و باید از اصل توسعه پایدار اجتماعی و استفاده پایدار از منابع آبی پیروی کند (Ren *et al.*, 2016). جهت هماهنگی توسعه اجتماعی و استفاده پایدار از منابع آب

انسان و تأثیرات انسانی بر روی زیست‌کره با سرعت هشداردهنده‌ای در حال افزایش است (Del Monte-Luna, 2004) این عوامل در کنار تنافض میان توسعه اجتماعی-اقتصادی و افزایش جمعیت با پایداری منابع و محیط‌زیست (Li *et al.*, 2019) بهدلیل عدم توجه به محدودیت‌های منابع و محیط‌زیست در برنامه‌ریزی‌ها و سیاست‌های توسعه‌ای (Dou *et al.*, 2015)، پایداری منابع و محیط‌زیست را به یک گلوگاه مهم برای توسعه پایدار منطقه‌ای تبدیل کرده است (Wang, 2018). مفهوم ظرفیت برد رابطه بین منابع، محیط‌زیست و فعالیت‌های انسانی را برای اطمینان از پایداری توصیف می‌کند (Li *et al.*, 2019) و در مقایسه با سایر روش‌های ارزیابی مورداستفاده در پژوهش‌های پایداری، از یک چارچوب جامع‌تر استفاده می‌کند که بر محیط‌زیست، موجودات زنده و تعاملات آن‌ها تمرکز دارد (Ma *et al.*, 2017). این مفهوم به طور ویژه مورد توجه پژوهش‌گران قرار گرفته و Bao *et al.*, (2020) و سبب شکل‌گیری مفاهیمی متعددی مانند ظرفیت برد منابع زمین (Zhou *et al.*, 2021)، ظرفیت برد گردشگری (Aguilar *et al.*, 2021)، ظرفیت برد شهری (Cao *et al.*, 2021)، ظرفیت برد منابع و محیط‌زیست Zhao *et al.* (Zou & Ma, 2021) و ظرفیت برد منابع آب (al., 2021) شده است.

سیستم منابع آب یک سیستم پیچیده با عدم قطعیت‌های بسیار زیاد است (Yang *et al.*, 2016). ارزیابی ظرفیت برد منابع آب در کشف تعاملات میان منابع اجتماعی-اقتصادی و دستیابی به پایداری سیستم منابع آب اهمیت ویژه‌ای دارد (Yang *et al.*, 2015). مفهوم ظرفیت برد منابع آب با توسعه مفهوم ظرفیت برد در علم مدیریت منابع آب ایجاد شده است

مدیریت آب و آسیاری

مواد و روش‌ها

منطقه مطالعاتی و داده‌ها

حوضه آبریز طشك- بختگان با مساحت ۲۷۵۲۳ کیلومترمربع در بخش‌هایی از مناطق شمال، مرکز و جنوب‌شرقی استان فارس به همراه مناطق جزئی از استان کهکیلویه و بویراحمد واقع شده است. بلندترین نقطه آن در غرب حوضه به ارتفاع حدود ۳۹۰۰ متر از سطح دریای آزاد و کمترین آن در حاشیه دریاچه طشك- بختگان به ارتفاع حدود ۱۶۲۰ متر از سطح دریای آزاد قرار دارد. براساس تقسیمات وزارت نیرو، حوضه آبریز طشك- بختگان شامل ۲۲ محدوده مطالعاتی می‌باشد (شکل ۱). از جمله مشکلات این حوضه می‌توان به خشکی دریاچه‌های طشك- بختگان، افت سطح ایستابی سفره‌های آب زیرزمینی، شوری آن‌ها و ... اشاره کرد. در این مطالعه با توجه به اهداف موردنظر، طیف متنوعی از اطلاعات مورداستفاده قرار گرفت. مهم‌ترین داده‌های مورداستفاده به همراه منبع آن‌ها در این پژوهش در جدول (۱) ارائه شده است.

تخصیص بهینه منابع آب موردنیاز است (Ren *et al.*, 2016) از این‌رو، مطالعه ظرفیت برد منابع آب اغلب به تجزیه و تحلیل تخصیص بهینه منابع آب در منطقه نیاز دارند تا بتوانند با توجه به سطح مشخصی از فناوری تولید، بیشترین جمعیت و اقتصاد ممکن را حفظ کنند (Sun & Yang, 2019). بنابراین در مطالعه‌ی حاضر، مفهوم ظرفیت برد منابع آب به عنوان رویکردی در بررسی توازن مصارف و ظرفیت آبی حوضه، پایش و شناسایی آستانه شروع تنش‌ها، تخصیص بهینه منابع آب و توسعه هماهنگ سیستم اقتصادی (با تمرکز بر بخش کشاورزی) با محیط زیست و منابع آب پایدار در سیستم منابع آب حوضه آبریز پایلوت (حوضه آبریز طشك- بختگان) مدنظر قرار گرفت. در این مطالعه، مدل SWAT به‌منظور شبیه‌سازی فرایند فرایندهای هیدرولوژیکی (جربانات سطحی، تبخیر و تعرق، آب زیرزمینی) و فعالیت‌های کشاورزی حوضه و الگوریتم ژنتیک به‌منظور بهینه‌سازی مبتنی بر معیارهای منابع آب، اقتصاد و محیط‌زیست مورداستفاده قرار گرفته‌اند.

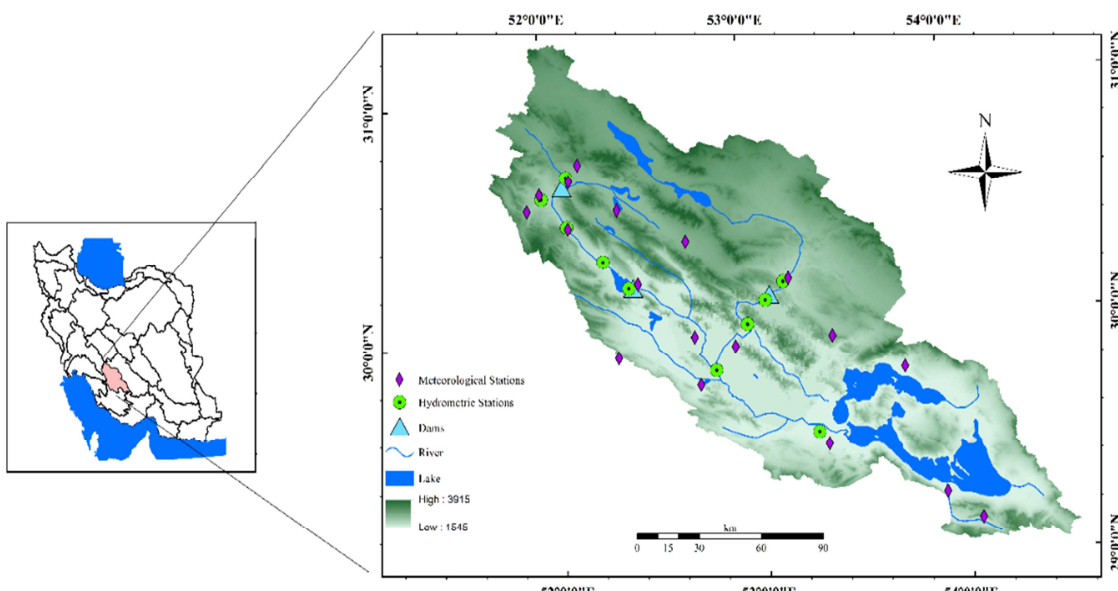


Figure 1. Tashk- Bakhtegan Basin

مدیریت آب و آبیاری

دوره ۱۱ ■ شماره ۴ ■ زمستان ۱۴۰۰

Table 1. Data used in preparation of model

Data	Source
DEM map	DEM map with 30 meter accuracy Aster
Land use map	Forests and rangelands organization in 1383 with 9 user classes and two user maps extracted from LANDSAT 8 satellite images for 1394 and 1366
Soil map	Updated FAO-UNESCO map with 13 soil classes
Daily weather information	Synoptic stations, climatology belonging to the meteorological organization of iran, information on rain gauge and evaporator stations of the ministry of energy
River hydrometric data	Iran water resources management company
• Agricultural and managerial information	Comprehensive water plan of the country (2013), agricultural jihad of Fars province and field visits
• Cultivation pattern, planting and harvesting date, irrigation and fertilization planning, water supply source and crop rotation and crop yield by each study area	
• 18 irrigated crops (7 horticultural crops and 11 crops)	
• 7 rainfed crops (3 horticultural crops and 4 crops)	
Information on aquifers and changes in groundwater levels and surface storage tanks	Iran water resources management company
Drinking and industrial uses	Iran water resources management company, basin update studies (Farsab Sanat 1393)
Evapotranspiration potential of products in any study area	National water document

حاملا و بارها تقسیم می شود، به بیان دیگر فرض می شود که در یک سیستم دو نوع نیرو وجود دارد، نیروهای پشتیبانی کننده و نیروهای فشار که به ترتیب از حامل و بار ناشی می شوند (Wu & Hu, 2020). در این رویکرد، ظرفیت برد سیستم هم به حاملها و هم به بارهایی که آنها حمل می کنند (Liao *et al.*, 2020) و هم به رابطه بین آنها (حامل-بار) بستگی دارد (Wang *et al.*, 2020; Zhu *et al.*, 2020). مفهوم ظرفیت برد منابع آب از منظر ساختار حامل-بار در شکل (۳) نشان داده شده است. همان طور که در شکل (۳) نشان داده شده است منابع آب حامل نامیده می شوند که از بارهای فعالیت های انسانی در طی فرایند توسعه منطقه ای پشتیبانی می کنند به عبارت دیگر فعالیت های انسانی (بار) بر سیستم منابع آب منطقه ای فشار وارد می کند و منابع آب (حامل) فشار را تحمل می کنند، از آنجاکه ظرفیت پشتیبانی حامل محدود است، اثر محدود کننده ای بر حجم فعالیت های انسانی دارند و اگر بار بیش از حد باشد، حامل بیش از حد بارگذاری می شود با این وجود این اثر محدود کننده می تواند تا حدی قابل تغییر باشد (Liao *et al.*, 2020). هنگامی که بار بر روی حامل نزدیک به آستانه حمل باشد، می توان اقدامات نظارتی خاصی را برای تغییر بار یا افزایش حامل اتخاذ کرد، بنابراین می توان مشکلات احتمالی اضافه بار را کاهش داد.

روش انجام تحقیق

از آنجاکه مفهوم ظرفیت برد به استفاده منطقی و بهینه از منابع با توجه به آستانه های محیط زیست تأکید دارد روش انجام این پژوهش در سه گام تنظیم شده است (شکل ۲). در گام اول، با استفاده از مکانیسم حامل-بار آستانه بارگذاری بر منابع آب تعیین شده است. در گام دوم جهت بهینه سازی استفاده از منابع آب، یک مدل ترکیبی بهینه سازی و شبیه سازی جامع حوضه آبریز به کار برده شده است. مدل ارزیابی ظرفیت برد منابع آب نیز در این مرحله با استفاده از رویکرد شبیه سازی- بهینه سازی مبتنی بر مکانیسم حامل-بار توسعه داده شده است و در گام سوم مدل توسعه داده شده جهت ارزیابی ظرفیت برد منابع آب در شرایط پایه و تغییر اقلیم به کار برده شده است.

تعیین چارچوب ارزیابی ظرفیت برد منابع آب

به دلیل تفسیرهای مختلف از مفهوم ظرفیت برد، پژوهش گران جهت ارزیابی این مفهوم رویکردهای مختلفی اتخاذ کرده اند (Liao *et al.*, 2020). در این پژوهش جهت ارزیابی ظرفیت برد منابع آب از چارچوب حامل-بار که ریشه در چارچوب فشار- پشتیبانی دارد (Wang *et al.*, 2020) استفاده شده است. براساس این چارچوب، یک سیستم (اکوسیستم، منابع آب و ...) به

مدیریت آب و آسیاری

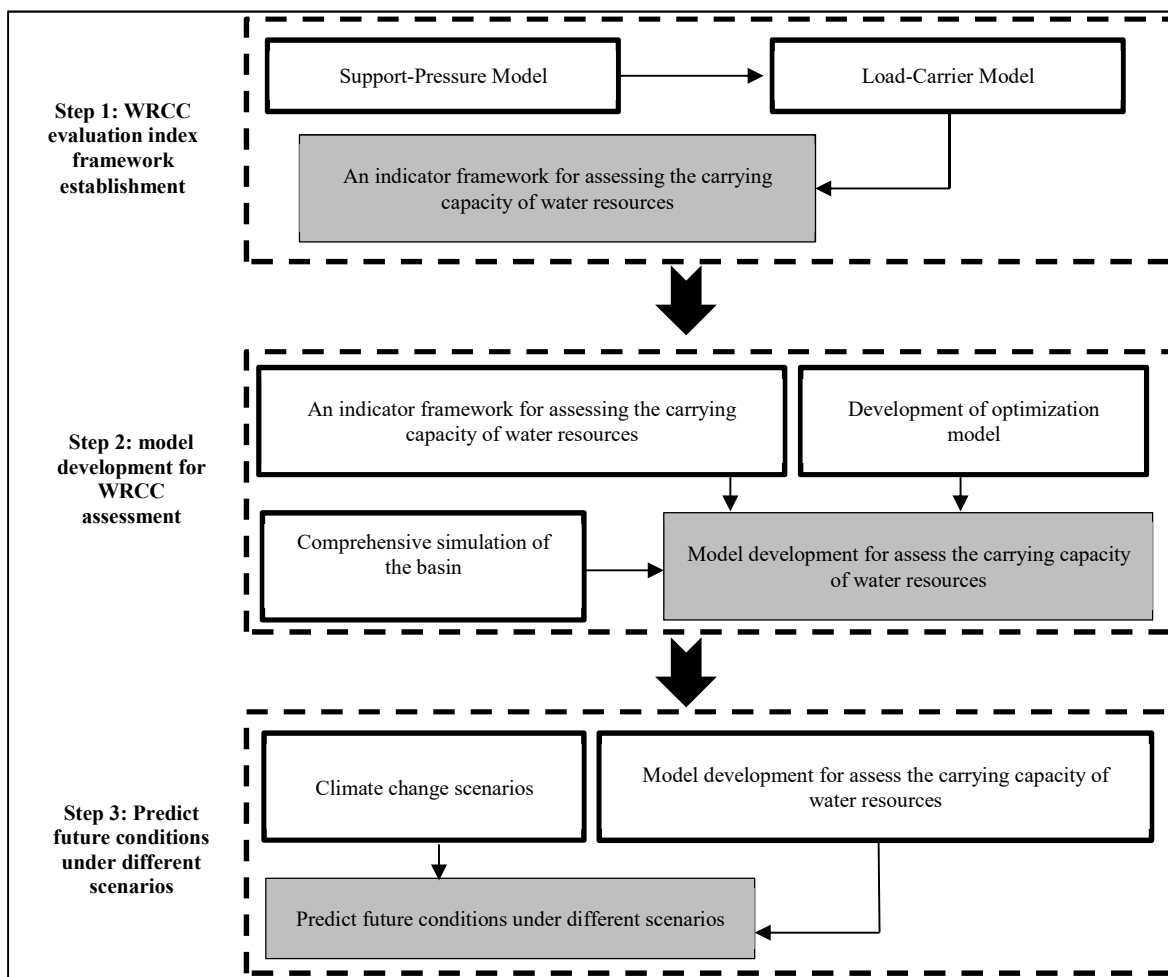


Figure 2. Research methodology

در مصرف آب را می‌توان جهت کاهش بار منابع آب منطقه‌ای و با انجام پروژه‌های انتقال آب می‌توان قابلیت حامل آب را افزایش داد، این نشان می‌دهد که تغییرات حامل‌ها و بارها و تعامل آن‌ها در یک سیستم می‌تواند ظرفیت برد سیستم را تغییر دهد (Liao *et al.*, 2020). بنابراین ظرفیت برد منابع آب را می‌توان به عنوان رابطه‌ای بین بارها و حامل‌های محیط زیست در نظر گرفت که به صورت زیر محاسبه می‌شود (Zhu *et al.*, 2020):

$$\rho \text{ (carrying capacity index)} = \frac{\text{Load}}{\text{Carrier}} \quad (1)$$

در رابطه بالا، بار به اهداف (objects) مختلف مربوط به فعالیت‌های انسانی اشاره دارد؛ حامل، پشتیبان طبیعی یا

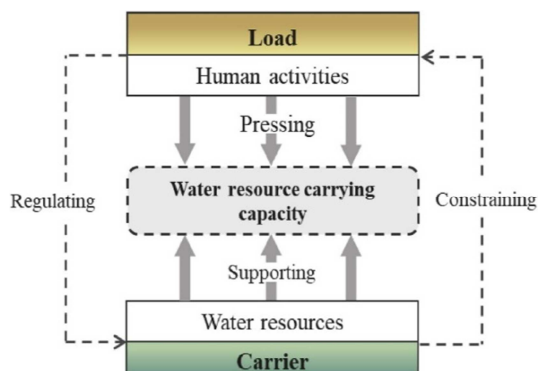


Figure 3. Carrier-load structure to evaluate the carrying capacity of water resources (Liao *et al.*, 2020)

به عنوان مثال اقدامات بهینه‌سازی تخصیص و افزایش بهره‌وری استفاده از آب و بهبود فناوری‌های صرفه‌جویی

- بهره‌وری آب برای «معیار بازده اقتصادی»
- شاخص‌های پایداری ردپای آب آبی برای «محیط زیست سالم» و مصارف پایدار.

بدین منظور با مدنظر قراردادن شاخص‌های فوق، بارگذاری بر حوضه به شکلی تنظیم می‌شود که حداقل درآمد اقتصادی و بهره‌وری آب و در عین حال شاخص پایداری آب آبی محقق شود. چنین برنامه‌ریزی نیاز به یک رویکرد شبیه‌سازی-بهینه‌سازی دارد که در این مطالعه با تلفیق مدل شبیه‌سازی حوضه (SWAT-PARS) و یک الگوریتم بهینه‌سازی (GA) به انجام رسید.

رابطه به دست آمده در قسمت قبل (رابطه ۲) به عنوان محدودیت در مسئله مورد بررسی در نظر گرفته شد و بارگذاری‌ها بر منابع آبی را از طریق کاهش سطح زیرکشت بخش کشاورزی به شکلی در نظر گرفته می‌شود که شاخص ظرفیت بر منابع آبی حوضه (ρ) حداقل برابر یک شود. این مطالعه به منظور پراکنش مکانی مناسب در کاهش سطح زیرکشت در جهت برقراری عدالت اقتصادی در کاهش درآمد ناخالص بخش کشاورزی و هم‌چنین دست‌یابی به تعادل میان مصارف آبی و آب تجدیدپذیر حوضه، محدودیتی به صورت تابع جریمه مدنظر قرار گرفت. طبق این محدودیت، درآمد ناخالص محصولات کشاورزی در حوضه در شرایط اخیر و تغییر اقلیم نباید از ۳۰ درصد کاهش تجاوز نماید (معادله ۳). به منظور برآورد درآمد ناخالص نیز از داده‌های قیمت محصولات کشاورزی منتشرشده توسط سازمان جهاد کشاورزی استان فارس در سال ۱۳۹۳ استفاده شد.

$$I_i = \sum_{j=1}^{13} Area_{ij} * Yield_{ij} * Price_{ij} \quad (3)$$

که در رابطه (۳)، I_i بیان‌گر درآمد در منطقه i ، z شمارنده محصولات کشاورزی کشته در منطقه (با در نظر گیری کشته غالب) می‌باشد.

انسان‌ساز از بار است؛ ρ به معنی شاخص ظرفیت برد مربوط به حامل است. هرچه مقدار ρ کم‌تر باشد بیان‌گر عملکرد بهتر ظرفیت برد است، در این رابطه هم حامل‌ها و بارها و هم تعامل بین آن‌ها در ارزیابی ظرفیت برد در نظر گرفته می‌شود (Zhu et al., 2020).

براساس این چارچوب، توانایی پشتیبانی منابع آب (حامل) با کسر نیاز‌های زیست‌محیطی از حجم منابع آب تجدیدپذیر حوضه و بار برابر با نیازهای صنعت، شرب و کشاورزی قرار داده شد (Liao et al., 2020) (رابطه ۲).

مقدار ۱ در رابطه (۲) بیان‌گر برابری بار با حامل است و هر چقدر مقدار این رابطه از (۱) بیش‌تر شود نشان‌گر بارگذاری‌های اضافی بر منابع آبی حوضه خواهد بود.

$\rho =$ (۲)

$$\frac{\text{Industrial Demands} + \text{Drinking Demands} + \text{Agricultural Demands}}{\text{Renewable water} - \text{Environmental demands}(\text{Tashk-Bakhtegan Lake})}$$

توسعه مدل جهت ارزیابی ظرفیت برد منابع آب

در روند توسعه مفهوم ظرفیت برد در ابتدا صرفاً متوجه مؤلفه‌های بیولوژیکی و بیوفیزیکی بود. اما با شکل‌گیری مفهوم توسعه پایدار اقتصادی و زیست‌محیطی؛ سه معیار اساسی یعنی "رفاه"، "بازده اقتصادی" و "محیط زیست سالم" را به عنوان ارکان اصلی توسعه پایدار در مفهوم ظرفیت برد در نظر گرفته شد (Song et al., 2011). در پژوهش حاضر، برای برآورد ظرفیت برد سیستم منابع آب براساس سه معیار بالا، از یک رویکرد «بهینه‌سازی-شبیه‌سازی» سه هدفه مبتنی بر شاخص‌های عملکردی هر معیار استفاده شده است. بدین ترتیب، میزان ظرفیت برد حوضه و تغییرات آن به واسطه عوامل طبیعی (تغییرات اقلیمی) و انسانی (مانند تغییر کاربری اراضی و احداث سد) در دوره تاریخی براساس سه شاخص زیر برآورد می‌شود:

- درآمد اقتصادی منطقه به عنوان نشانگر «رفاه»،

مدیریت آب و آسیاری

استفاده شد. در این راستا الگوریتم ژنتیک در ترکیب با مدل شبیه‌سازی SWAT به کار برده شد (شکل ۴) در ادامه مراحل مدنظر در این مطالعه به ترتیب تشریح خواهند شد.

شبیه‌سازی جامع حوضه آبریز با استفاده از مدل SWAT

در این مطالعه به منظور تأمین اطلاعات موردنیاز در ارزیابی ظرفیت برد و تغییرات آن در دوره تاریخی و تغییر اقلیم از مدل SWAT استفاده شد. مدل SWAT، مدلی جامع برای شبیه‌سازی فرایندهای درون حوضه می‌باشد که در مرکز تحقیقات کشاورزی آمریکا توسعه داده شده است. این مدل به منظور شبیه‌سازی حوضه، ابتدا آن را به چند زیر‌حوضه تقسیم نموده و سپس هر زیر‌حوضه را بسته به میزان تنوع (از منظر شیب، خاک و نوع گیاه) به چند قسمت دیگر با نام واحد پاسخ هیدرولوژیکی (HRU) تقسیم می‌نماید (Arnold *et al.*, 1998). در این مطالعه شبیه‌سازی سیستم‌های منابع آب (جریانات سطحی، تبخیر و تعرق و آب زیرزمینی) با استفاده از SWAT نسخه اصلاح شده مدل SWAT، تحت عنوان PARS انجام گرفت (Delavar *et al.*, 2020). از قابلیت‌های این مدل می‌توان به زیربرنامه اعمال تغییرات دینامیک کاربری اراضی اشاره کرد. در این مدل به منظور پیکره‌بندی حوضه از لایه DEM با اندازه سلولی ۳۰ متری ASTER استفاده شد و هم‌چنین به منظور تطابق بیشتر با شرایط واقعی حوضه، موقعیت رودخانه‌ها، ایستگاه‌های هیدرومتری، محلودهای مطالعاتی و سدها نیز در این امر موردنوجه قرار گرفت. از برهمنهای لایه‌های DEM کاربری اراضی (تهیه شده توسط سازمان جنگل‌ها و مراع در سال‌های ۱۹۸۷ و ۲۰۰۷ و ۲۰۱۵) و لایه خاک (تهیه شده توسط FAO)، واحدهای همگن هیدرولوژیکی استخراج شد و داده‌های هواشناسی، بهره‌برداری از سدها، مصارف، مدیریت زراعی و سایر پارامترهای موردنیاز در

بهره‌وری آب (WP_i) نیز به عنوان رکن دیگر در ارزیابی ظرفیت برد از تقسیم درآمد حاصل از رابطه (۳) بر آب در دسترس برای بخش کشاورزی تعیین می‌شود (رابطه ۴).

$$WP_i = \frac{I_i}{Renewable\ water-Environmental\ demands(Tashk-Bakhtegan\ Lake)} \quad (4)$$

به منظور تحلیل وضعیت پایداری حوضه به عنوان شاخص سوم در تعیین ظرفیت برد از شاخص‌ها و «چارچوب پایداری ردپای آب» (Hoekstra *et al.*, 2011) استفاده شده است. بدین منظور، برای بررسی پایداری حوضه از شاخص‌های کمبود آب آبی استفاده شد. در موارد لازم آب آبی با جزئیات بیشتر مشکل از مؤلفه‌های آب سطحی ($WS_{Blue-Env}$) و آب زیرزمینی (WS_{Black}) بررسی و ارائه شد. این شاخص‌ها نسبت آب مصرف شده از هر منبع (ردپای آب) به منابع آب تجدیدپذیر قابل مدیریت آن را نشان می‌دهد. مقادیر بیشتر از «یک» این شاخص‌ها بیان‌گر استفاده بیش از ظرفیت تجدیدپذیر و مبین ناپایداری بهره‌برداری از آن می‌باشد. مقادیر «کوچک تر از یک» نیز بیان‌گر شرایط پایدار بهره‌برداری از منبع آبی می‌باشد.

براساس آنچه در بالا بدان اشاره شد تابع هدف مسئله بهینه‌سازی بر مبنای حداقل‌سازی درآمد، بهره‌وری و پایداری منابع آب می‌باشد که براساس رابطه زیر تعریف می‌شود:

$$Max Z = WP + I + WS_{Blue-Env} + WS_{Black} \quad (5)$$

که در آن Z تابع هدف مسئله بهینه‌سازی، WP میانگین بهره‌وری آب در منطقه، I مجموع درآمد و $WS_{Blue-Env}$ و WS_{Black} به ترتیب شاخص کمبود آب زیرزمینی و نیاز زیست محیطی می‌باشد.

در این مطالعه به منظور ارزیابی ظرفیت برد منابع آب در مقیاس حوضه آبریز از رویکرد شبیه‌سازی- بهینه‌سازی

1992). بهینه‌سازی در این الگوریتم با تولید جمعیت اولیه آغاز می‌شود و با تولید نسل‌های جدید از نسل اولیه تا زمان برقراری شرط توقف، ادامه می‌باید. در این الگوریتم فرزندان جدید با استفاده از عملگرهای جهش و ترکیب ایجاد شده و با کمک روش‌های انتخاب، نسل جدید تولید می‌شود.

تعیین چشم‌انداز شرایط اقلیمی آینده

به‌منظور شبیه‌سازی سناریوهای تغییر اقلیم در مدل SWAT، داده‌های ورودی مدل (بارندگی، دما و سطح دی‌اکسیدکربن) متناسب هر سناریو تغییر داده می‌شود. در این راستا با توجه به این‌که داده‌های ورودی مدل SWAT در مقیاس روزانه می‌باشد، نیاز است تا سری زمانی روزانه سناریوهای اقلیمی تولید شود. بدین منظور داده‌های اقلیمی تولیدشده از طریق مدل‌های گردش عمومی جو، ریز مقیاس‌شده و به صورت سری زمانی وارد مدل می‌شود. در حال حاضر معتبرترین ابزار جهت تولید سناریوهای اقلیمی، مدل‌های سه‌بعدی جفت شده اقیانوس-اتمسفر گردش عمومی جو (AOGCM) می‌باشد (Wilby & Harris, 2006). هیئت بین‌الدول تغییر اقلیم در گزارش پنجم ارزیابی خود از سناریوهای RCP به عنوان نماینده‌های خطوط سیر غلظت‌های گوناگون گازهای گلخانه‌ای استفاده کرده است. مدل‌های اقلیمی از نتایج سناریوهای RCP به‌منظور نمایش غلظت و انتشار گازهای گلخانه‌ای، میزان آلودگی‌ها و تغییرات کاربری اراضی بهره می‌برند. سناریوهای RCP شامل چهار سناریوی مختلف می‌برند. می‌باشد که براساس میزان واداشت تابشی آن‌ها در سال ۲۱۰۰ نام‌گذاری شده‌اند. این سناریوها ویژگی‌های متفاوت از منظر سطح تکنولوژی، جمعیت، مصرف انرژی، وضعیت اجتماعی و اقتصادی سطوح متفاوت انتشار دی‌اکسیدکربن و غلظت اتمسفری

بخش‌های مختلف اعم از برف، آب زیرزمینی و مخزن وارد مدل شد.

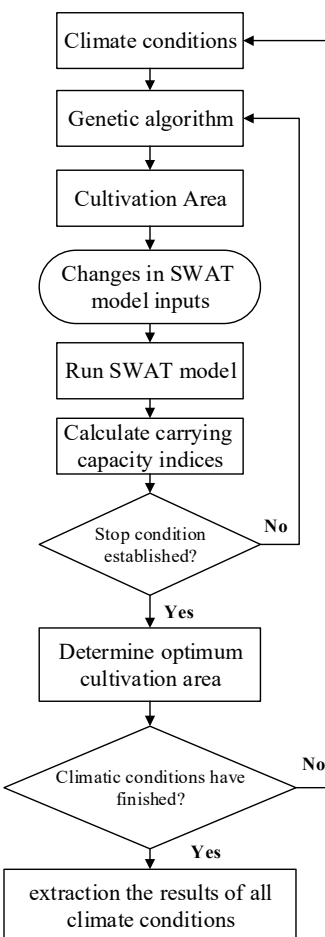


Figure 4. Modeling framework of this study

الگوریتم ژنتیک

این الگوریتم، یکی از پرکاربردترین الگوریتم‌های فراتکاری در مطالعات برنامه‌ریزی و مدیریت منابع آب می‌باشد. الگوریتم‌های فراتکاری توانایی بالایی در حل مسائلی با فضای گستته تصمیم‌گیری، غیرخطی بودن Nicklow et al., (2010; Katabchi & Ataei-Ashtiani, 2015 ژنتیک در سال ۱۹۷۵ توسط هالند ارایه شد که الهام گرفته از نظریه تکاملی داروین و علم ژنتیک می‌باشد (Holland,

تبیین (R^2)، نش ساتکلیف (NS) و ریشه میانگین مجازور خطاهای (RMSE) استفاده شد. واسنجی مدل SWAT-PARS به صورت جامع و حتی الامکان با توجه به داده‌های مشاهداتی دبی ایستگاه‌های هیدرومتری، تراز آب زیرزمینی، دبی پایه، تبخیر و تعرق پتانسیل و واقعی و عملکرد محصولات در منطقه مطالعه‌ی انجام گرفت. با توجه به نحوه تنظیم مدل با نقشه‌های کاربری در دسترس و دوره دسترسی داده‌های اقلیمی و هیدرولوژیکی، دوره شبیه‌سازی مدل بین سال‌های ۱۹۸۰ تا ۲۰۱۴ در نظر گرفته شد. از این دوره، دو سال اول به عنوان گرم کردن مدل استفاده شد و واسنجی برای دوره ۲۲ ساله اول (۲۰۱۴ تا ۲۰۰۵) و ۹ سال انتهای دوره (۲۰۰۶ تا ۱۹۸۳) نیز برای اعتبارسنجی عملکرد مدل مدنظر قرار گرفت. تحت واسنجی جریان انجام شده مقدار شاخص NS و R^2 در تمامی ایستگاه‌های آب‌سنجدی بیشتر از ۵۰٪ برآورد شد (شکل ۵) که مطابق با مطالعه Moriasi *et al.* (2007) مطلوب ارزیابی می‌شود. به طور کلی نتایج واسنجی جریان در شاخه رودخانه سیوند به دلیل وجود سازنده‌های سخت (کارستی) در منطقه پایین تر از سایر مناطق می‌باشد. هم‌چنین مقدار شاخص‌های R^2 و NS برای واسنجی مدل براساس تغییرات تراز آبخوانها (شکل ۶) به ترتیب در ۸۳ و ۸۷ درصد آبخوان‌ها بالای ۵۰ درصد می‌باشد. نتایج به دست آمده، بیان‌گر عملکرد مطلوب مدل در شبیه‌سازی جریانات سطحی و زیرزمینی در حوضه موردررسی می‌باشد.

از سال ۲۰۰۰ تا ۲۱۰۰ را شرح می‌دهند (Van Vuuren *et al.*, 2011). تحت سناریوی RCP 8.5 آب‌وهوا کره زمین بدون اتخاذ سیاست‌های کاهش آثار و مقابله با پیامدهای اقلیم پیش خواهد رفت و بعد از سال ۲۱۰۰ نیز همین روند ادامه خواهد داشت. هم‌چنین تحت سناریوهای RCP 6, 4.5, 2.6 میزان افزایش تولید دی‌اکسیدکربن کاهش خواهد یافت.

در مطالعه حاضر، به منظور بهینه‌سازی پایداری منابع و مصارف آبی حوضه و هم‌چنین ارزیابی ظرفیت برد منطقه مورد مطالعه در شرایط تغییر اقلیم، از ۲۷ سناریوی تغییر اقلیم استفاده شد. این سناریوها از خروجی‌های متغیرهای اقلیمی (دما و بارش) سه مدل سری CMIP5 شامل MPI-ESM-LR و GFDL-ESM2G انتشار RCP2.6 RCP4.5 و RCP8.5 به همراه سه روش ریزمقیاس‌نمایی SDSM و Knn XDS حاصل شده‌اند (جدول ۲) (Massah *et al.*, 2016). در این پژوهش، نتایج خروجی‌های ماهانه دما و بارش در بازه زمانی ۲۰۴۹-۲۰۲۰ استخراج و به مدل SWAT-PARS معرفی شد.

نتایج

واسنجی و اعتبارسنجی مدل SWAT-PARS

در مدل SWAT-PARS از روش SUFI-2 به منظور واسنجی و تحلیل عدم قطعیت استفاده شده است. در این راستا از نرم‌افزار SWAT-CUP و توابع آماری ضریب

Table 2. Climate change scenarios

Model CMIP5	Scenario	Exponential microscaling method	Model CMIP5	Scenario	Exponential microscaling method	Model CMIP5	Scenario	Exponential microscaling method
CanESM2	RCP2.6	SDSM	GFDL-ESM2G	RCP2.6	SDSM	RCP2.6	RCP2.6	SDSM
		XDS			XDS			XDS
		Knn			Knn			Knn
	RCP4.5	SDSM		RCP4.5	SDSM	RCP4.5	RCP4.5	SDSM
		XDS			XDS			XDS
		Knn			Knn			Knn
RCP8.5	RCP8.5	SDSM			SDSM	RCP8.5	RCP8.5	SDSM
		XDS			XDS			XDS
		Knn			Knn			Knn

مدیریت آب و آسیاری

در سنند ملی آب میباشد. همان‌طور که در شکل (۶) مشاهده می‌شود بهغیر از تبخیر و تعرق محصولات گوجه‌فرنگی و لویا که به‌طور متوسط مقادیر کمتری را نسبت به مقادیر گزارش شده ارائه می‌دهند، تبخیر و تعرق سایر محصولات در دامنه چارک اول و سوم مقادیر گزارش شده تغییر می‌کند. این در حالی است که برای تمامی محصولات، متوسط عملکرد شبیه‌سازی شده در دامنه چارک اول و سوم مقادیر مشاهداتی می‌باشد و نشانگر تطابق مناسب شبیه‌سازی این متغیر در سطح محدوده‌های مطالعاتی می‌باشد. شرح کامل نحوه و نتایج واسنجی مدل در مرجع (Delavar et al., 2020) در دسترس می‌باشد.

مقادیر شاخص‌های NS و R^2 تبخیر و تعرق و عملکرد محصولات منتخب در کل حوضه در جدول (۳) نشان داده شده است. شکل (۶) نیز نمودار جعبه‌ای مقادیر مشاهداتی عملکرد و تبخیر و تعرق گزارش شده از سنند ملی آب و در مقایسه با متوسط مقادیر شبیه‌سازی شده در محدوده‌های مطالعاتی را نشان می‌دهد. نتایج این بررسی‌ها نشان می‌دهد که تطابق قابل قبولی بین نتایج مدل و مقادیر گزارش شده وجود دارد. بررسی مقادیر متوسط شبیه‌سازی شده تبخیر تعرق محصولات حاکی از میزان تطابق شبیه‌سازی انجام شده در مقایسه با دامنه تغییرات حداقل، حداقل و چارک اول و دوم مقادیر گزارش شده

Table 3. NS and R^2 index values of evapotranspiration and crop yield in the whole basin

Crop	Apple	Peach	Almond	olive	Wheat	barley	Canola	Sugar beet	tomato	potato	
Evapotranspiration	R^2	0.98	0.83	-	0.79	0.5	0.41	0.95	0.92	0.89	0.94
	Ns	0.98	0.81	-	0.47	0.67	0.58	0.94	0.92	0.34	0.94
Yield	R^2	0.92	0.83	0.62	0.83	0.66	0.76	0.90	0.60	0.48	0.62
	Ns	0.92	0.80	0.52	0.35	0.27	0.68	0.89	0.61	0.51	0.47
Crop	Alfalfa	Beans	Rice	Sunflower	onion	Lentils	Dry barley	Dry Wheat	Dry figs	Almond dry	
Evapotranspiration	R^2	0.93	0.58	0.92	0.84	0.93	-	-	-	-	-
	Ns	0.76	0.36	0.90	0.78	0.92	-	-	-	-	-
Yield	R^2	0.97	0.88	0.92	0.25	0.77	0.99	0.59	0.90	0.86	0.62
	Ns	0.93	0.86	0.91	0.63	0.53	0.47	0.48	0.63	0.84	0.52

Evapotranspiration rates are not reported in the National Water Document.

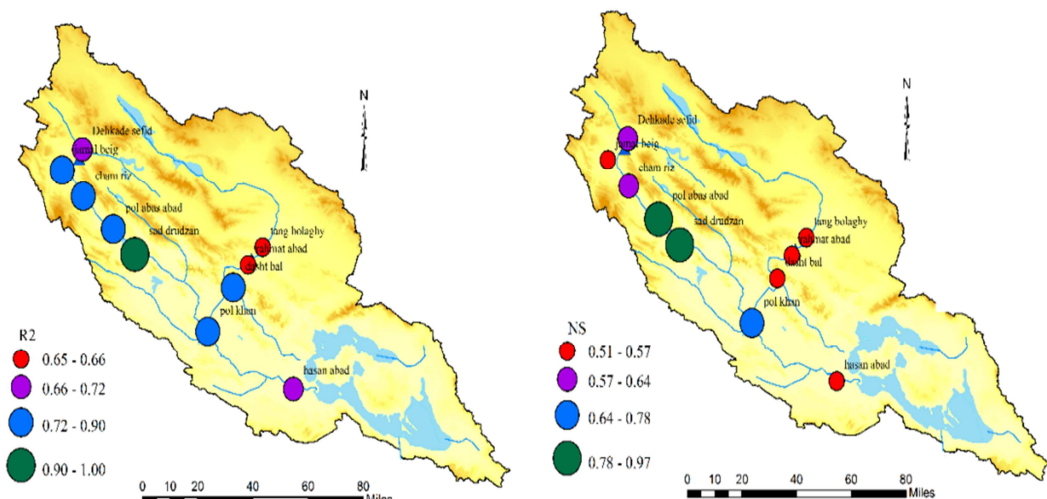


Figure 5. Results of flow calibration and validation at the hydrometric stations (Delavar et al., 2020)

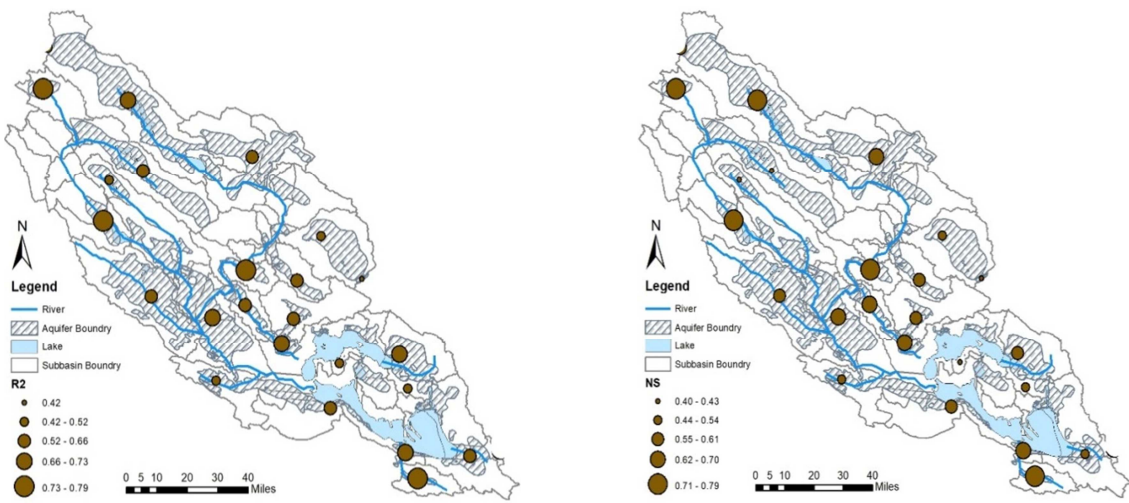


Figure 6. Results of ground water level calibration and validation (Delavar et al., 2020)

میلیارد مترمکعب می‌باشد. از طرفی میزان تبخیر در دوره دوم نسبت به دوره اول ۳ درصد افزایش را نشان می‌دهد که با توجه به کاهش بارش در دوره دوم، می‌توان این افزایش را به افزایش دما و افزایش برداشت بخش کشاورزی (۱۸ درصد افزایش برداشت در دوره دوم نسبت به دوره اول) با توجه به افزایش سطح اتفاق افتاده در دوره دوم در مقایسه با دوره اول نسبت داد. بررسی مؤلفه جريان ورودی به دریاچه بيانگر تأثیرپذيری جريانات سطحی به نوسانات اقلیمي می‌باشد، به‌نحوی که جريان ورودی به دریاچه در دوره دوم نسبت به دوره اول به میزان ۱۴۳۸ میليون مترمکعب کاهش می‌يابد. همچنين مقدار اين مؤلفه در كل دوره برابر با ۷۲۰ ميليون مترمکعب است. متوسط میزان کاهش ذخایر آب زیرزمیني در سطح حوضه برای كل دوره موردنرسی در حدود ۲۴۳ میليون مترمکعب در سال بوده است. اين منابع در دوره ۲۲ ساله اول، افت متوسط ۲۱۰ میليون مترمکعبی را تجربه نموده، اما در دوره هفت ساله دوم و به‌دلیل افزایش برداشت و کاهش نسی بارش، این افت به‌طور متوسط به ۳۶۷ میليون مترمکعب در سال افزایش یافته است (شکل ۸).

ارزیابی شرایط تاریخی حوضه آبریز

مطابق با شکل (۷) بعد از سال ۲۰۰۶ تغییرات چشمگیری در جریان خروجی از حوضه و بهدلیل آن تأمین حقابه دریاچه طشك بختگان ایجاد شده است. این در حالی است که علی‌رغم روند کاهشی بارش در دوره (۲۰۰۷-۲۰۱۷) نسبت به دوره (۱۹۸۵-۲۰۰۶) روند افزایشی تبخیر به چشم می‌خورد. بر این اساس بررسی وضعیت حوضه آبریز، مطابق با نتایج مطالعه Ghotbzadeh et al. (2018) در دو دوره (۱۹۸۵-۲۰۰۶) و (۲۰۰۷-۲۰۱۴) انجام گرفت.

در راستای ارزیابی شرایط تاریخی حوضه آبریز، برخی از مؤلفه‌های اصلی بیان آب حوضه شامل بارش، تبخیر، جريان ورودی به دریاچه به‌همراه تغییر در ذخایر آب سطحی و زیرزمینی در دوره‌های زمانی مدنظر در شکل (۷) موردنرسی قرار گرفت. نتایج ارزیابی بيانگر مقادیر بارش در دوره اول، دوم و كل دوره به‌ترتیب برابر با ۱۱/۵۳، ۱۰/۱۹ و ۱۱/۴۱ میليارد مترمکعب می‌باشد که نشان‌دهنده کاهش ۱۱ درصدی بارش در دوره دوم نسبت به دوره اول است. همچنان ارزیابی تبخیر- تعرق سالانه که بيشترین مقدار خروج آب از حوضه را به‌خود اختصاص داده در كل دوره موردنرسی برابر با ۸/۹

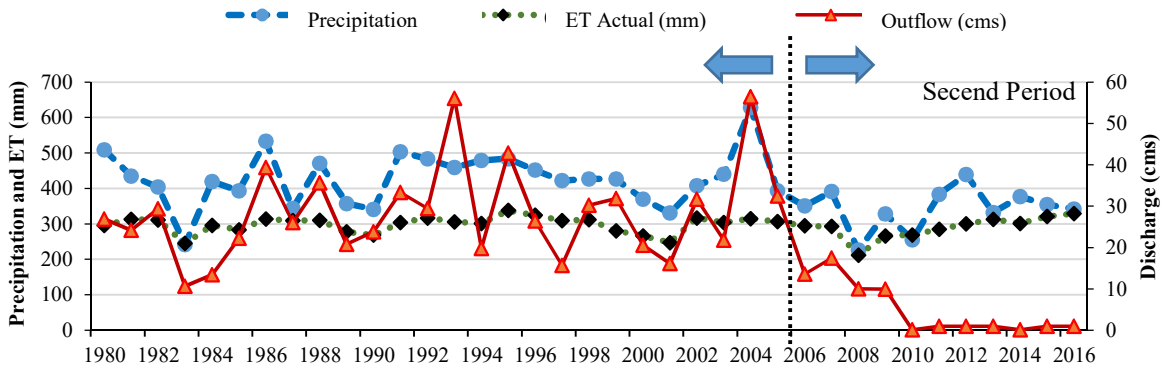


Figure 7. Changes in evaporation, precipitation, discharge, and classification the study period's to the 2 episodes

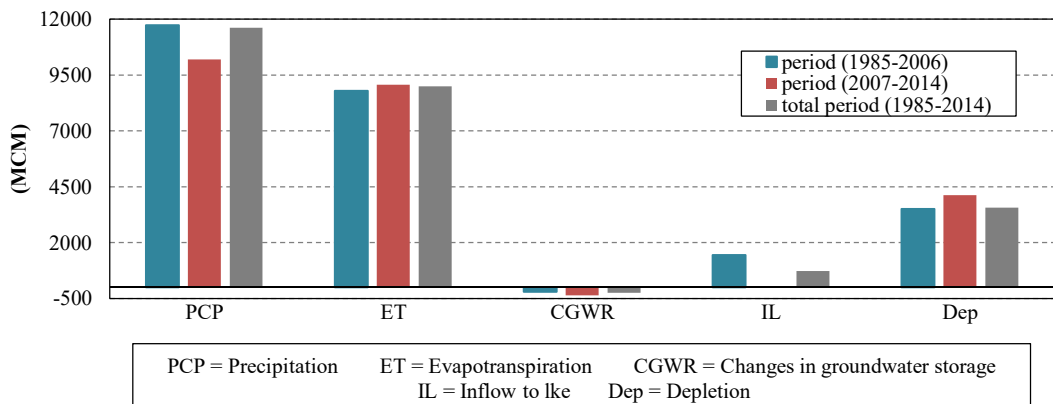


Figure 8. Main components of basin water balance during the study time periods (million cubic meters)

که نسبت به کل دوره پایه با وجود کاهش بارش در سناریوهای اقلیمی، به جز در 2.6 RCP افزایش یافته است. این امر را می‌توان به افزایش دما در سناریوهای RCP و در نتیجه آن افزایش برداشت (به طور میانگین افزایش ۱۴ درصدی برداشت) نسبت داد. همان‌طور که اشاره شد، جریانات سطحی تحت تأثیر تغییرات مؤلفه‌های اقلیمی (دما و بارش) قرار دارند که این امر در تغییرات جریان ورودی به دریاچه تحت سناریوهای اقلیمی نیز به وضوح مشخص است. بهنحوی که جریان ورودی به دریاچه تحت سناریوهای RCP 2.6، RCP 4.5 و RCP 8.5 به ترتیب ۵/۸، ۶/۲ و ۷/۲ درصد کاهش می‌یابد. تغییرات ذخایر آب زیرزمینی نیز تحت تأثیر تغییرات اقلیمی قرار داشته و با توجه به کاهش ۶ تا ۱۰ درصدی بارش و هم‌چنین افزایش

ارزیابی برخی از مؤلفه‌های بیلان آبی حوضه آبریز در شرایط تغییر اقلیم

در این قسمت تغییرات مؤلفه‌های بیلان ذکر شده در بخش قبل نسبت به کل دوره پایه در شرایط تغییر اقلیم مورد بررسی قرار می‌گیرد. همان‌طور که گفته شد، سری زمانی دما و بارش RCP 2.6، 4.5، 8.5 در این مطالعه مورد بررسی قرار می‌گیرد. مطابق با شکل (۹) بارش حوضه در تمامی سناریوهای اقلیمی ذکر شده نسبت به کل دوره پایه (۲۰۱۴-۱۹۸۵) کاهش می‌یابد. بیشترین مقدار کاهش در بارش نیز تحت سناریو RCP 2.6 و به مقدار ۹ درصد نسبت به کل دوره پایه اتفاق افتاده است. از طرفی میزان تبخیر-تعرق در سناریوهای RCP 2.6، RCP 4.5 و RCP 8.5 به ترتیب برابر با ۸/۸، ۹/۱ و ۹/۱۲ می‌باشد.

تا سال ۱۹۸۸ از میزان حامل یعنی $2/6$ میلیارد مترمکعب مقدار کمتری داشته است پس بنابراین ظرفیت برد منابع آب حوضه در شرایط پایداری ($1<0/890$) قرار دارد. اما همزمان با توسعه اراضی زیرکشته و عبور از آستانه 340 هزار هکتار، بارگذاری بیش از توان حوضه شده و نقطه آغاز تخریب حوضه رقم می‌خورد. به عبارت دیگر، بارگذاری بر منابع آب بیش از توانایی پشتیبانی آن (حامل) می‌شود. از طرف دیگر در دوره (۱۹۸۵-۲۰۰۶)، از سال ۱۹۹۸ تا انتهای دوره توسعه اراضی کشاورزی ادامه می‌یابد و سطح زیر کشته حوضه به 430 هزار هکتار می‌رسد که نشان‌دهنده تشدید بارگذاری‌ها بر حوضه است. به‌نحوی که مصارف از آب آبی به میزان حدود 930 میلیون مترمکعب افزایش یافته و از $2/1$ به میزان $3/03$ میلیارد مترمکعب می‌رسد. اما نقطه قابل توجه بعد از سال 2006 است که توانایی پشتیبانی منابع آب (حامل) هم کاهش می‌یابد و به $2/3$ میلیارد مترمکعب می‌رسد. بارگذاری بر منابع آب (بار) نیز بدلیل کاهش منابع تجدیدپذیر (تقلیل از $3/4$ به $2/9$ میلیارد مترمکعب) به ناچار کاهش یافته است (به‌طورعمده در قالب کم‌آبیاری)، ولی همچنان اختلاف فاحشی بین حامل و بار وجود دارد. تخریب کامل دریاچه‌های حوضه از تبعات این بهره‌برداری بوده است. در شرایط تغیر اقلیم منابع آب تجدیدپذیر نسبت به شرایط اخیر حوضه با افت نسبی مواجه می‌شود (تقلیل از $2/94$ به $2/81$ میلیارد مترمکعب) و به‌دلیل آن توانایی پشتیبانی منابع آب (حامل) در بهترین شرایط تحت سناریوی RCP 2.6 از $2/3$ میلیارد مترمکعب در شرایط حال به $2/1$ میلیارد مترمکعب کاهش می‌یابد. با توجه به موارد گفته شده، عملاً تأمین نیاز آبی سطح زیر کشته فعلی و الگوی مدیریت حوضه در شرایط فعلی و تحت تأثیر تغیر اقلیم با ناپایداری شدید و افزایش روند تخریب سیستم اکولوژیکی و اجتماعی حوضه مواجه خواهد شد و تغیر در مدیریت حوضه را ضروری می‌سازد.

نسبی دما، منجر به کاهش ذخایر آب زیرزمینی بین ۴ تا ۱۲ درصد شده است.

تحلیل حساسیت مدل بهینه‌سازی

یکی از مهم‌ترین مسائل در حل مسأله‌ی بهینه‌سازی با استفاده از الگوریتم‌های فراکاروشی تحلیل حساسیت پارامترهای الگوریتم و تعیین مقدار مناسب آن‌هاست. در الگوریتم GA به عنوان الگوریتم منتخب این مطالعه، تعیین پارامترهایی نظیر نوع تابع جهش و ترکیب به منظور تولید نسل جدید، اندازه‌ی جمعیت و همچنین حداکثر تعداد تولید نسل به عنوان شرط خاتمه بهینه‌سازی بسیار حائز اهمیت می‌باشد. با توجه به Adaptive Scattered با نرخ ترکیب feasible نتایج حاصل از آنالیز حساسیت، تابع جهش به همراه تابع ترکیب مناسب تشخیص داده شد (جدول ۴).

Table 4. Genetic algorithm parameters

Crossover fraction	Crossover function	Mutation function	Population Size
0.8	Scattered	Adaptive feasible	50

ارزیابی ظرفیت برد حوضه

در این پژوهش ظرفیت برد منابع آب از منظر حامل- بار و با استفاده از رویکرد شبیه‌سازی- بهینه‌سازی در حوضه آبریز طشك- بختگان مورد ارزیابی قرار گرفت. براساس نتایج حاصل از رویکرد شبیه‌سازی- بهینه‌سازی انجام شده، تغیرات ظرفیت برد و مصارف آبی حوضه در شرایط تاریخی و تغیر اقلیم در شکل (۱۰) آورده شده است. همان‌طور که در شکل (۱۰) نشان داده شده است توانایی پشتیبانی منابع آب (حامل) به‌دلیل کاهش منابع آب تجدیدپذیر از $3/4$ به $2/9$ میلیارد مترمکعب در دوره اول (۲۰۰۶-۱۹۸۵) به $2/81$ میلیارد مترمکعب در دوره دوم (۲۰۰۷-۲۰۱۴) و $2/81$ میلیارد مترمکعب در شرایط تغیر اقلیم (۲۰۴۰-۲۰۱۵)، کاهش یافته است. میزان بارگذاری بر منابع آب (بار)

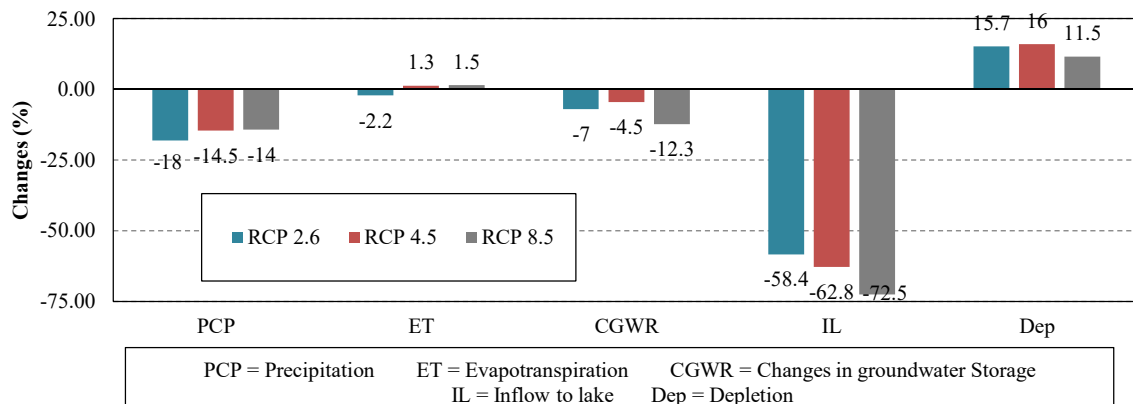


Figure 9. Changes in Basin water balance main components at the climate change conditions compared with base period (million cubic meters)

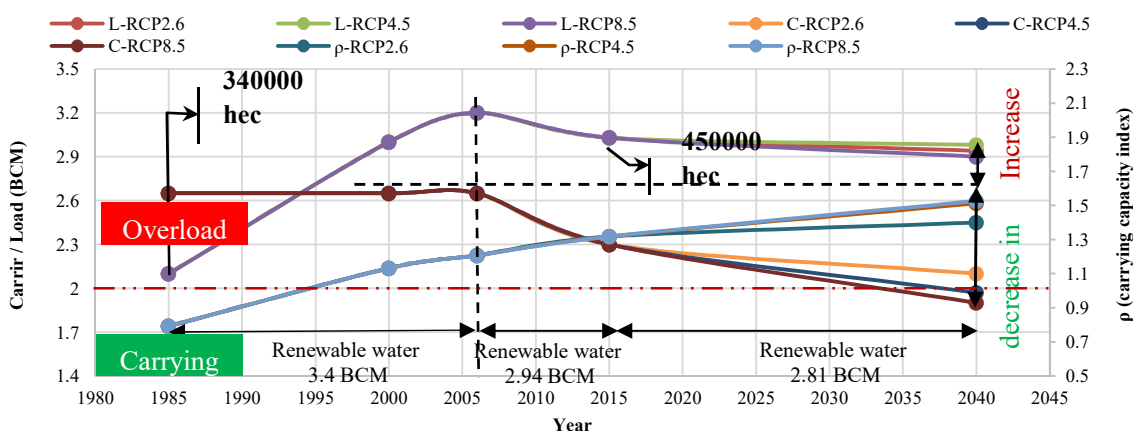


Figure 10. Changes in carrier (C), load (L) and carrying capacity (p) of basin water resources

دما، کاهش بارندگی و سطح زیر کشت ثابت منجر به کاهش درآمد ناخالص شده است. از طرفی کمترین و بیشترین مقدار درآمد ناخالص به ترتیب تحت سناریوهای RCP 8.5 و RCP 4.5 اتفاق افتاده است که متناسب با میزان مصرف آب تحت این سناریوها ارایه شده در شکل (۱۱) می‌باشد. مطابق با شکل (۱۱) میزان درآمد ناخالص در تمام دوره‌های موردبررسی بیش از ظرفیت درآمدی حوضه بر طبق ظرفیت برد می‌باشد. کمترین کاهش در درآمد مربوط به دوره (۱۹۸۵-۲۰۰۶) و به میزان ۸/۶ درصد و بیشترین کاهش نیز مرتبط با RCP 8.5 و به مقدار ۴۴/۴ درصد می‌باشد.

تجددیدنظر در مدیریت فعلی حوضه و بهدلیل آن کاهش مصرف منابع آب و کاهش سطح زیر کشت منجر به کاهش درآمد بخش کشاورزی خواهد شد. در این راستا نیاز است تا ارزیابی از تغییرات درآمد ناخالص تولیدی در بخش کشاورزی به عمل آید. در شکل (۱۱) تغییرات درآمد ناخالص بخش کشاورزی در دوره‌های موردنبررسی و شرایط تغییر اقلیم آورده شده است. درآمد ناخالص بخش کشاورزی در دوره (۲۰۰۷-۲۰۱۴) نسبت به دوره (۱۹۸۵-۲۰۰۶) با توجه به بالاتر بودن سطح زیرکشت، مقدار بیشتری را نشان می‌دهد. همچنین تحت سناریوهای RCP نسبت به دوره (۲۰۰۷-۲۰۱۴) افزایش

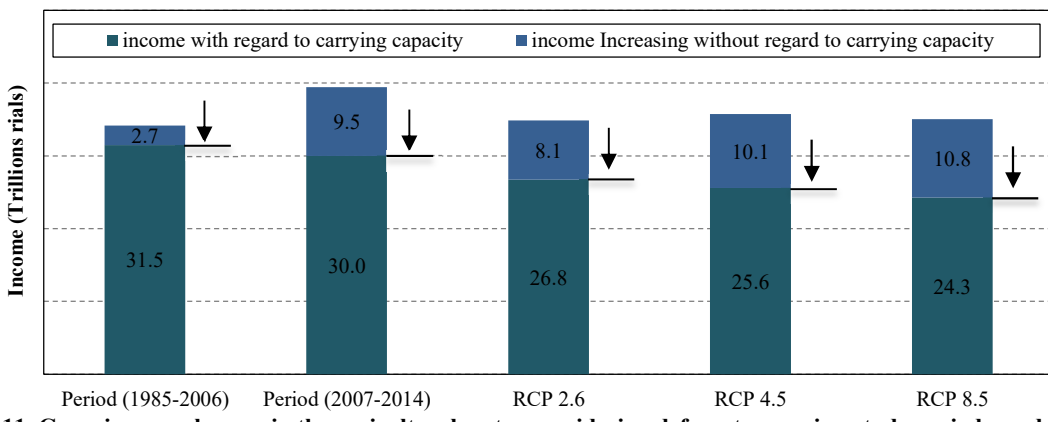


Figure 11. Gross income changes in the agricultural sector considering deferent scenarios, study periods, and carrying capacity

نتیجه‌گیری RCP4.5 و RCP8.5 و سه روش ریز مقیاس‌نمایی به مدل SWAT-PARS در دوره (۲۰۱۵-۲۰۴۵) به مدل SWAT معرفی گردید. مؤلفه‌های اصلی بیلان آبی حوضه با استناد به نتایج شبیه‌سازی حوضه در دو دوره (۱۹۸۵-۲۰۰۶) و (۲۰۰۷-۲۰۱۴) موردنبررسی قرار گرفت. نتایج بیان‌گر افزایش بارگذاری‌ها در دوره دوم نسبت به دوره اول با توجه به افزایش سطح زیر کشت اتفاق افتاده می‌باشد. همچنین کاهش منابع آب تجدیدپذیر در دوره دوم نسبت به دوره اول و عدم اصلاح الگوی مدیریتی حوضه منجر به تشدید این بارگذاری شده است. این عوامل باعث شده است که شاخص ظرفیت برد منابع آب (m) از مقدار ۰/۸۹ در دوره اول به مقدار ۱/۲۸ در دوره دوم افزایش یابد که بیان‌گر بارگذاری بیش از ظرفیت منابع آب در دوره دوم می‌باشد و موجب به تخریب کامل دریاچه‌های حوضه شده است. نتایج ارزیابی‌ها در شرایط تغییر اقلیم بیان‌گر کاهش بارش و افزایش دما تحت سناریوهای اقلیمی موردنبررسی نسبت به شرایط پایه می‌باشد که منجر به کاهش منابع آب تجدیدپذیر می‌شود. در بدینانه‌ترین سناریوی تغییر اقلیم، توانایی پشتیبانی منابع آب (حامل) به ۱/۹ میلیارد مترمکعب و در سناریوی خوش‌بینانه به ۲/۱ میلیارد مترمکعب می‌رسد که در مقایسه با شرایط

نتیجه‌گیری

الگوها و سیاست‌های نامناسب بهره‌برداری از منابع آب در کنار نوسانات اقلیمی و تغییر اقلیم فشار فزاینده‌ای را بر منابع آب وارد کرده است. از آنجاکه مفهوم ظرفیت برد منابع آب به‌دبیل یافتن مناسب‌ترین توسعه و استفاده از منابع آب در کنار توجه به آستانه‌ها و محدودیت‌های محیط‌زیست است، می‌تواند برای قضایت در مورد پایداری سیستم منابع آب و همچنین برنامه‌ریزی مدیریت پایدار آن مورداستفاده قرار گیرد. این مطالعه با هدف ارزیابی ظرفیت برد منابع آب در دوره پایه و در شرایط تغییر اقلیم از منظر حامل- بختگان به عنوان حوضه پایلوت و حوضه‌ی آبریز طشك- بختگان به عنوان حوضه پایلوت و مدل SWAT-PARS در جهت شبیه‌سازی جامع حوضه مدنظر قرار گرفت. از طرفی الگوریتم زننیک نیز به‌منظور بهینه‌سازی پایداری حوضه آبریز با توجه به ملاحظات زیست‌محیطی، اقتصادی و منابع آبی به کار برده شد. در جهت ارزیابی اثرات تغییر اقلیم بر ظرفیت برد حوضه آبریز طشك- بختگان، سری‌های زمانی ریز‌مقیاس‌شده متغیرهای اقلیمی (دما و بارش) حاصل از ترکیب سه مدل GFDL- CMIP5 شامل CanESM2، AOGCM MPI-ESM-LR و ESM2G RCP2.6 تحت سناریوهای MPI-ESM-LR و ESM2G

منابع

1. Aguilar, P., Mendoza, E., & Silva, R. (2021). Interaction between Tourism Carrying Capacity and Coastal Squeeze in Mazatlan, Mexico. *Land*, 10(9), 900.
2. Arnold, J. G., Srinivasan, R., Muttiah, R. S., & Williams, J. R. (1998). Large area hydrologic modeling and assessment part I: model development 1. *JAWRA Journal of the American Water Resources Association*, 34(1), 73-89.
3. Bao, H., Wang, C., Han, L., Wu, S., Lou, L., Xu, B., & Liu, Y. (2020). Resources and environmental pressure, carrying capacity, and governance: A case study of Yangtze river economic belt. *Sustainability*, 12(4), 1576.
4. Cao, X., Shi, Y., Zhou, L., Tao, T., & Yang, Q. (2021). Analysis of Factors Influencing the Urban Carrying Capacity of the Shanghai Metropolis Based on a Multiscale Geographically Weighted Regression (MGWR) Model. *Land*, 10(6), 578.
5. Chi, M., Zhang, D., Fan, G., Zhang, W., & Liu, H. (2019). Prediction of water resource carrying capacity by the analytic hierarchy process-fuzzy discrimination method in a mining area. *Ecological Indicators*, 96, 647-655.
6. Del Monte-Luna, P., Brook, B. W., Zetina-Rejón, M. J., & Cruz-Escalona, V. H. (2004). The carrying capacity of ecosystems. *Global ecology and biogeography*, 13(6), 485-495.
7. Delavar, M., Morid, S., Morid, R., Farokhnia, A., Babaeian, F., Srinivasan, R., & Karimi, P. (2020). Basin-wide water accounting based on modified SWAT model and WA+ framework for better policy making. *Journal of Hydrology*, 585, 124762.
8. Dou, M., Ma, J. X., Li, G. Q., & Zuo, Q. T. (2015). Measurement and assessment of water resources carrying capacity in Henan Province, China. *Water Science and Engineering*, 8(2), 102-113.
9. Feng, L. H., & Huang, C. F. (2008). A risk assessment model of water shortage based on information diffusion technology and its application in analyzing carrying capacity of water resources. *Water resources management*, 22(5), 621.
10. Ghotbzadeh, M., Bagheri, A., & Abbasi, E. (2018). Assessment of local organizations' institutional adaptive capacity to water scarcity in Tashk-Bakhtegan Basin. *Iran-Water Resources Research*, 14(4), 25-31.
11. Hoekstra, A. Y., Chapagain, A. K., Mekonnen, M. M., & Aldaya, M. M. (2011). The water footprint assessment manual: Setting the global standard. Routledge.

فعلی حوضه به ترتیب ۰/۴ و ۰/۲ میلیارد مترمکعب کاهش می‌یابد. نتایج به دست آمده حاکی از این است که اگر تغییراتی در مدیریت فعلی حوضه در جهت کاهش مصارف آبی صورت نپذیرد، تشدید تخریب منابع آب و محیط‌زیست حوضه دور از انتظار نخواهد بود. در راستای مصرف مناسب با ظرفیت برد تحت بدبینانه‌ترین (RCP 8.5) و خوش‌بینانه‌ترین (RCP 2.6) سناریو در شرایط تغییر اقلیم با مدیریت فعلی حوضه نیاز به کاهش درآمد ناخالص بخش کشاورزی به ترتیب با مقادیر ۴۴/۴۴ و ۳۰ درصد می‌باشد. با توجه به موارد فوق، عملًا تأمین آبی سطح زیر کشت فعلی و الگوی مدیریت حوضه در شرایط فعلی و تحت تأثیر تغییر اقلیم با ناپایداری شدید و افزایش روند تخریب سیستم اکولوژیکی و اجتماعی حوضه مواجه خواهد شد و تغییر در مدیریت حوضه در جهت کاهش مصارف واقعی آب به-واسطه اقداماتی نظریه کاهش سطح کشت، اصلاح الگوی مصرف و کاهش تلفات آبی ضروری می‌سازد. لذا تلاش در حصول به بیش‌ترین بهره‌برداری از منابع اکولوژیکی (از جمله منابع آب) باید با توجه به ظرفیت برد آن در کشور دنبال شود. ظرفیتی که تحت تأثیر تغییر اقلیم کمتر می‌شود و سیاست‌ها باید به سمت کاستن از این بارگذاری باشد.

تشکر و قدردانی

مقاله حاضر بخشی از نتایج طرح پژوهشی "تدوین راهبردها و برنامه ملی سازگاری با تغییر اقلیم در بخش آب" به شماره قرارداد ۹۴/۱۰۹۳۷/۷۰۰ با مؤسسه تحقیقات آب وزارت نیرو بوده است، که بدین‌وسیله از مؤسسه تحقیقات آب وزارت نیرو و دفتر برنامه‌ریزی کلان آب و آبفا وزارت نیرو، تشکر و قدردانی می‌گردد.

تعارض منافع

هیچ‌گونه تعارض منافع توسط نویسنده‌گان وجود ندارد.

12. Holland, J. H. (1992). Adaptation in natural and artificial systems: an introductory analysis with applications to biology, control, and artificial intelligence. MIT press.
13. Hou, G. Y., & Tang, D. S. (2014). Fuzzy comprehensive evaluation of water resources carrying capacity based on vague method. In *Applied Mechanics and Materials* (Vol. 501, 2040-2044). Trans Tech Publications Ltd.
14. Kang, J., Zi, X., Wang, S., & He, L. (2019). Evaluation and optimization of agricultural water resources carrying capacity in Haihe river basin, China. *Water*, 11(5), 999.
15. Katabchi, H., & Ataei-Ashtiani, B. (2015). Evolutionary algorithms for the optimal management of coastal groundwater: a comparative study toward future challenges. *Journal of Hydrology*, 520, 193-213.
16. Li, K., Jin, X., Ma, D., & Jiang, P. (2019). Evaluation of resource and environmental carrying capacity of China's rapid-urbanization areas-a case study of Xinbei district, Changzhou. *Land*, 8(4), 69.
17. Liao, X., Ren, Y., Shen, L., Shu, T., He, H., & Wang, J. (2020). A "carrier-load" perspective method for investigating regional water resource carrying capacity. *Journal of Cleaner Production*, 269, 122043.
18. Luo, X., Wang, G., Mou, Y., Liu, R., Zhou, H., Si, H., & Chen, Q. (2017). The Analysis of the Water Resource Carrying Capacity in the Shale and Gas Exploration Area, Southwest China Karst Region-A Case Study from Cenggong County. *The Open Civil Engineering Journal*, 11(1), 1-12.
19. Ma, P., Ye, G., Peng, X., Liu, J., Qi, J., & Jia, S. (2017). Development of an index system for evaluation of ecological carrying capacity of marine ecosystems. *Ocean & Coastal Management*, 144, 23-30.
20. Massah, A., Morid, M., & Delavar, M. (2016). *Assessment of climate change impacts on hydrological condition of Tashk-Bakhtegan Basin*. Technical Report, Ministry of Rnergy, Iran (in Persian).
21. Mohammadi sedaran, H., Delavar, M., & Shahbazbegian, M. R. (2021). Assessment of Water Resources Carrying Capacity of the River Basins Using the Simulation Approach and Index-Based Evaluation Method; Case Study: Zarrineh-Roud Basin. *Iran-Water Resources Research*, 17(2), 154-173.
22. Moriasi, D. N., Arnold, J. G., Van Liew, M. W., Bingner, R. L., Harmel, R. D., & Veith, T. L. (2007). Model evaluation guidelines for systematic quantification of accuracy in watershed simulations. *Transactions of the ASABE*, 50(3), 885-900.
23. Nicklow, J., Reed, P., Savic, D., Dessalegne, T., Harrell, L., Chan-Hilton, A., ... & ASCE Task Committee on Evolutionary Computation in Environmental and Water Resources Engineering. (2010). State of the art for genetic algorithms and beyond in water resources planning and management. *Journal of Water Resources Planning and Management*, 136(4), 412-432.
24. Nogueira, M. (2019). The sensitivity of the atmospheric branch of the global water cycle to temperature fluctuations at synoptic to decadal time-scales in different satellite-and model-based products. *Climate Dynamics*, 52(1), 617-636.
25. Pellicer-Martínez, F., & Martínez-Paz, J. M. (2016). The Water Footprint as an indicator of environmental sustainability in water use at the river basin level. *Science of the Total Environment*, 571, 561-574.
26. Pellicer-Martínez, F., & Martínez-Paz, J. M. (2018). Probabilistic evaluation of the water footprint of a river basin: Accounting method and case study in the Segura River Basin, Spain. *Science of the Total Environment*, 627, 28-38.
27. Ren, C., Guo, P., Li, M., & Li, R. (2016). An innovative method for water resources carrying capacity research-metabolic theory of regional water resources. *Journal of environmental management*, 167, 139-146.
28. Song, X.M., Kong, F.Z., & Zhan, C.S. (2011). Assessment of water resources carrying capacity in Tianjin city of China. *Water Resources Management*, 25(3), 857-873.
29. Sun, B., & Yang, X. (2019). Simulation of Water Resources Carrying Capacity in Xiong'an New Area Based on System Dynamics Model. *Water*, 11(5), 1085.
30. Tukimat, N.N.A., & Harun, S. (2019). Comparative study on the reservoir operation planning with the climate change adaptation. *SN Applied Sciences*, 1(11), 1-11.
31. Van Vuuren, D. P., Stehfest, E., den Elzen, M. G., Kram, T., van Vliet, J., Deetman, S., ... & van Ruijven, B. (2011). RCP2. 6: exploring the possibility to keep global mean temperature increase below 2 C. *Climatic change*, 109(1), 95-116.
32. Wang, C., Hou, Y., & Xue, Y. (2017). Water resources carrying capacity of wetlands in Beijing: Analysis of policy optimization for urban wetland water resources management. *Journal of Cleaner Production*, 161, 1180-1191.

33. Wang, J., Ren, Y., Shen, L., Liu, Z., Wu, Y., & Shi, F. (2020). A novel evaluation method for urban infrastructures carrying capacity. *Cities*, 105, 102846.
34. Wang, Z. (2018). Land spatial development based on carrying capacity, land development potential, and efficiency of urban agglomerations in China. *Sustainability*, 10(12), 4701.
35. Wilby, R. L., & Harris, I. (2006). A framework for assessing uncertainties in climate change impacts: Low-flow scenarios for the River Thames, UK. *Water resources research*, 42(2), 1-12.
36. Wu, F., Zhuang, Z., Liu, H. L., & Shiau, Y. C. (2021). Evaluation of Water Resources Carrying Capacity Using Principal Component Analysis: An Empirical Study in Huai'an, Jiangsu, China. *Water*, 13(18), 2587.
37. Wu, X., & Hu, F. (2020). Analysis of ecological carrying capacity using a fuzzy comprehensive evaluation method. *Ecological Indicators*, 113, 106243.
38. Yang, J., Lei, K., Khu, S., & Meng, W. (2015). Assessment of water resources carrying capacity for sustainable development based on a system dynamics model: a case study of Tieling City, China. *Water Resources Management*, 29(3), 885-899.
39. Yang, S., & Yang, T. (2021). Exploration of the dynamic water resource carrying capacity of the Keriya River Basin on the southern margin of the Taklimakan Desert, China. *Regional Sustainability*, 2(1), 73-82.
40. Yang, X. H., Sun, B. Y., Zhang, J., Li, M. S., He, J., Wei, Y. M., & Li, Y. Q. (2016). Hierarchy evaluation of water resources vulnerability under climate change in Beijing, China. *Natural Hazards*, 84(1), 63-76.
41. Yu, X., Xie, J., Jiang, R., Zuo, G., & Liang, J. (2020). Assessment of water resource carrying capacity based on the chicken swarm optimization-projection pursuit model. *Arabian Journal of Geosciences*, 13(1), 1-14.
42. Zhao, Y., Wang, Y., & Wang, Y. (2021). Comprehensive evaluation and influencing factors of urban agglomeration water resources carrying capacity. *Journal of Cleaner Production*, 288, 125097.
43. Zhou, W., Elshkaki, A., Zhong, S., & Shen, L. (2021). Study on Relative Carrying Capacity of Land Resources and Its Zoning in 31 Provinces of China. *Sustainability*, 13(3), 1459.
44. Zhu, M., Shen, L., Tam, V. W., Liu, Z., Shu, T., & Luo, W. (2020). A load-carrier perspective examination on the change of ecological environment carrying capacity during urbanization process in China. *Science of the Total Environment*, 714, 136843.
45. Zou, H., & Ma, X. (2021). Identifying resource and environmental carrying capacity in the Yangtze River Economic Belt, China: the perspectives of spatial differences and sustainable development. *Environment, Development and Sustainability*, 23, 14775-14798.